

平面内弧ばりの有限変位問題における構内積分解

名古屋工業大学 学生員 ○藤本知行
 名古屋工業大学 正員 後藤芳顕
 名古屋工業大学 正員 松浦 聖

1. まえがき

平面棒材の有限変位理論における一般的な支配方程式はすでに報告¹⁾されており、その中で直線棒材に関する軸線の伸張変形を考慮した一般解が積分表示で得られることと示されている。また、それらの解の構内積分の標準形への変換と、その数値計算も行われている²⁾。

本報告では、円弧ばりの有限変位理論における厳密解³⁾という意味で、積分表示された一般解を示すと同時に、構内積分の標準形への変換が直線棒材で用いた方法を拡張することによって容易に求めることができることを示し、さらに若干の数値計算例を示す。

2. 解の積分表示

Table.1は、文献(3)で示された支配方程式をFig.1の物理量を用いて ψ - z 軸に変換した形で示しており、ここでは分布荷重は省略してある。これらの支配方程式を文献(1)の方法で積分すると、Table.2に示す無次元量を用いた積分表示による一般解を得ることができる。ここで示した積分表示と直線棒材の積分表示による一般解との違いは、関数 f のモーメントの項に初期回転が含まれている点と、積分範囲である回転角に初期の回転角が含まれた形になっている点である。これはTable.2の $1/\sqrt{g_0}$ にあたる初期回転を無限に小さくすることによって初期の回転角のみで直線棒材の一般解と一致する。なおこの積分表示による一般解を誘導する際に初期回転を一定としている。

3. 構内積分標準形への変換

Table.2から明らかのように、各理論の積分表示された解は、いずれも次に示す積分から構成されている。

$$I_1 = \int_{\phi_i}^{\phi_{i+1}} -\text{SIGN}(M+1/r_0) / f \cdot d\phi$$

$$I_2 = \int_{\phi_i}^{\phi_{i+1}} -\text{SIGN}(M+1/r_0) \cdot \sin\phi / f \cdot d\phi$$

$$I_3 = \int_{\phi_i}^{\phi_{i+1}} -\text{SIGN}(M+1/r_0) \cdot \cos\phi / f \cdot d\phi$$

$$I_4 = \int_{\phi_i}^{\phi_{i+1}} -\text{SIGN}(M+1/r_0) \cdot \sin^2\phi / f \cdot d\phi$$

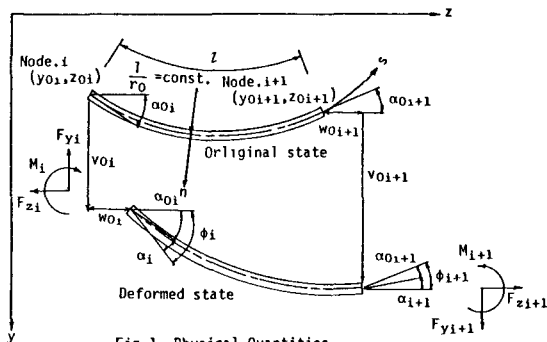


Fig.1 Physical Quantities

Table.1 Direct Langrangain Expressions

Equilibrium Equations	Boundary conditions	
	Mechanical	Geometrical
$-(F_n \sin \alpha_0)' + (F_a \cos \alpha_0)' = 0$ $(F_n \sin \alpha_0) + (F_a \cos \alpha_0) = 0$	$-F_n \sin \alpha_0 + F_a \cos \alpha_0 = F_x$ $F_n \sin \alpha_0 + F_a \cos \alpha_0 = F_y$ $M = \bar{M}$	$v_0 = \bar{v}_0 \cos \alpha_0 - \bar{w}_0 \sin \alpha_0$ $w_0 = \bar{w}_0 \cos \alpha_0 + \bar{v}_0 \sin \alpha_0$ $\alpha = \bar{\alpha}$
Theories	F_n, F_a	Stress Resultants vs. Displacements
Finite Displacements with Finite Strains	$F_n = N \cdot \sin \alpha + \frac{M'}{\sqrt{g_0}} \cos \alpha$ $F_a = N \cdot \cos \alpha - \frac{M'}{\sqrt{g_0}} \sin \alpha$	$N = EA(\sqrt{g_0} - 1)$ $M = -EI\alpha'$
Finite Displacements with finite Strains	$F_n = N \cdot \sin \alpha + M' \cos \alpha$ $F_a = N \cdot \cos \alpha - M' \sin \alpha$	$N = EA(\sqrt{g_0} - 1)$ $M = -EI\alpha'$
Inextensional Finite Displacements	$F_n = N \cdot \sin \alpha + M' \cos \alpha$ $F_a = N \cdot \cos \alpha - M' \sin \alpha$	$\sqrt{g_0} = 1$ $M = -EI\alpha'$

Remarks; The following notations are used throughout Tables.
 E; Young's Modulus, A; Cross Sectional Area, r₀; Radius of Curvature of Centroidal Axis, N; Axial Stress Resultant, $\alpha_0 = -l/r_0$
 $g_0 = (v_0' - w_0/r_0)' + (1 + v_0/r_0 + w_0')^2$, ' = d/ds

$$I_5 = \int_{\phi_1}^{\phi_{i+1}} \text{SIGN}(M+V_n) \cdot \sin\phi \cos\phi / r \cdot d\phi \quad (1.a.e)$$

$$f = (a_0 + a_1 \cos\phi + a_2 \sin\phi + a_3 \sin\phi \cos\phi + a_4 \cos^3\phi + a_5 \sin^3\phi) \quad (2)$$

ここで $a_0 \sim a_5$ は無次元量と表した定数である。

こゝらば、文献(2)で、

た変換と同様な変換により、

楕円積分の標準形へ変換でき、標準形に関するミンボリツの表現を用いると、次のように表わされる。

はずみに制限をつけない有限変位の式では

$$I_1 \rightarrow F, I_2 \rightarrow F + \pi + G, I_3 \rightarrow F + \pi + G, I_4 \rightarrow F + E + \pi + G, I_5 \rightarrow F + E + \pi + G \quad (3.a.e)$$

微小はずみ・有限変位の式では

$$I_1 \rightarrow F, I_2 \rightarrow G, I_3 \rightarrow F + E, I_4 \rightarrow G, I_5 \rightarrow F + E + G \quad (4.a.e)$$

ここで、F, E, π はおのおの第1種、第2種、第3種の楕円積分の標準形を表わし、Gは初等関数の積分を表している。なお、軸線不伸張の有限変位の式では(4.e.f)式が現われない。

4. 数値計算例

Fig.2では円弧の初期曲率 $\frac{1}{100}, \frac{1}{10}, \frac{1}{5}, 1$ のそれぞれのもとでz軸方向力だけを負荷したときの变形形状を示したものであり、Fig.3は初期曲率が異なる円弧片持ばりにz軸方向力だけを負荷したときの荷重-変位曲線である。これらの数値計算はすべて細長比 $\lambda \leq 100$ として計算したため各種支配方程式による差は見られない。

<参考文献>

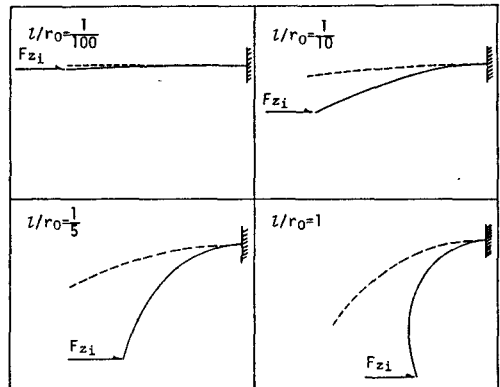
- 1) 西野・倉方・後藤；一軸曲げと軸力を受ける枠の有限変位理論 土木学会論文報告集第237号 1975
- 2) 山下・後藤・松浦；平面棒材の有限変位問題における楕円積分分解 第40回土木学会学術講演会概要集I, 1985
- 3) GOTO, HASEGAWA, NISHINO; ACCURACY AND CONVERGENCE OF THE

SEPARATION OF RIGID BODY DISPLACEMENTS FOR PLANE CURVED FRAMES PROC. OF JSCE No.344 April 1984

Table.2 Integral for the Solutions of Governing Equations in Table.1

	$1 - \int_{\phi_1}^{\phi_{i+1}} \frac{1}{r} d\phi$	$\frac{W_{01} + \lambda^2 W_{01+1}}{2} = \frac{W_{01} + \lambda^2 W_{01}}{2} + \int_{\phi_1}^{\phi_{i+1}} \frac{Kv}{r} d\phi$	$\frac{V_{01} + \lambda^2 V_{01+1}}{2} = \frac{V_{01} + \lambda^2 V_{01}}{2} + \int_{\phi_1}^{\phi_{i+1}} \frac{Kv}{r} s d\phi$
	$A_{1+1} = A_1 - \int_{\phi_1}^{\phi_{i+1}} \frac{Kv}{r} (B_1 s - C_1 - c) d\phi$	$B_{1+1} = B_1$	$C_{1+1} = C_1$
Theories	Finite Displacements with Finite Strains	Finite Displacements with Small Strains	Inextensional Finite Displacements
f	$-\text{sign}(M+1/r_0) \{ (A_1 + \lambda^2/r_0)^2 - 2B_1(c-c_1) \}$ $-2C_1(s-s_1) - \frac{B_1 C_1}{\lambda^2} (s_2 - s_{21})$ $- \frac{B_1^2 - C_1^2}{2\lambda^2} (c_2 - c_{21})^{1/2}$	$-\text{sign}(M+1/r_0) \{ (A_1 + \lambda^2/r_0)^2 - 2B_1(c-c_1) \}$ $-2C_1(s-s_1)^{1/2}$	$-\text{sign}(M+1/r_0) \{ (A_1 + \lambda^2/r_0)^2 - 2B_1(c-c_1) - 2C_1(s-s_1) \}^{1/2}$
$\frac{Kv}{r}$ $\frac{Kv}{r}$ $\frac{Kv}{r}$	$Kv = Kv = Km = \sqrt{g_0}$	$Kv = Kv = \sqrt{g_0} \quad Km = 1.0$	$Kv = Kv = Km = 1.0$

Remarks: $A_1 = \frac{M_1}{EI}$, $B_1 = \frac{F_{z1} L^2}{EI}$, $C_1 = \frac{F_{y1} L^2}{EI}$, $\lambda = \text{Slenderness Ratio}$, $1/r_0 = \text{Curvature of Curved Beam Element}$
 $\phi_1 = \alpha_1 + \alpha_0$, $\phi_{i+1} = \alpha_{i+1} + \alpha_0$, $c = \cos\phi$, $s = \sin\phi$, $c_1 = \cos\phi_1$, $s_1 = \sin\phi_1$, $c_2 = \cos 2\phi$, $s_2 = \sin 2\phi$, $c_{21} = \cos 2\phi_1$, $s_{21} = \sin 2\phi_1$
 $L = \text{Length of Curved Beam Element}$, $\text{sign}(\) = \pm 1$ according to the s of (), $\sqrt{g_0} = 1 + (B_1 c + C_1 s) / \lambda^2$



Remarks: $\lambda = 100$, $F_{z1} = 20,000 \text{ kg}$, $I = 4,720 \text{ cm}^4$, $A = 47.2 \text{ cm}^2$
 $E = 2.1 \times 10^6 \text{ kg/cm}$, $L = 1,000 \text{ cm}$

Fig.2 Displacements of Circular Cantilever

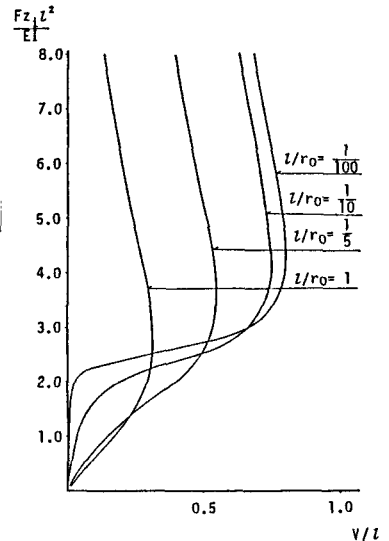


Fig.3 Load versus Vertical Deflection